



# تطبيق الحزمة تحت الحمراء القريبة 1.6 في تفسير السحب (العراق انموذجاً)

م.م. عبدالله دخيل السامرائي

جامعة تكريت - كلية التربية للعلوم الإنسانية

[abdullah.dakheel@tu.edu.iq](mailto:abdullah.dakheel@tu.edu.iq)



**The application of the nearby infrared channel 1.6 in  
the interpretation of clouds (Iraq as a model)**

Assistant teacher. Abdullah Dakheel Al -Samarrai

Tikrit University - College of Education for Humanities



## المستخلص

يهدف هذا البحث الى (تطبيق الحزمة تحت الحمراء القريبة 1.6 في تق سير الا سحب (العراق انموذجاً)) تمثل حدود الدراسة بحدود العراق الإقليمية الواقعة بين دائري عرض ( $29^{\circ}5'$ ), و ( $37^{\circ}22'$ ) شمالاً، وبين خطى طول ( $38^{\circ}45'$ ), و ( $48^{\circ}45'$ ) شرقاً. حيث ترکز هذه الدراسة الى التعرف على الحزمة الطيفية المستخدمة وكيفية توظيفها في مجال علم الطقس والمناخ، كما تهدف ايضا الى عرض خصائصها الطيفية. فضلاً عن ذلك، ابراز اهميتها في دراسة السحب والظواهر السنوبتية. حيث تم استخدام بيانات القراءة الاصطناعي ميتوسات (8) وبيئة نظم المعلومات الجغرافية. وقد استنجدت الدراسة الى ان الحزمة تحت الحمراء القريبة 1.6 لها دور في تحديد الا سحب ونوعها في العراق اعتماداً على التحليل الطيفي. كما استنجدت الدراسة الى ان الحزمة الطيفية كان لها دور فعال في الكشف عن المناطق المشمسة والغائمة للعراق. فضلاً عن قياس سرعتها ومعرفة اتجاه سيرها ومحتوها الرطوبى.

الكلمات المفتاحية : الحزمة تحت الحمراء القريبة، التحليل الطيفي، السحب، الظواهر السنوبتية.

## Abstract

This research aims to (the application of the sub -red beam nearby 1.6 in the interpretation of clouds (Iraq as a model)) was the limits of the study in the regional borders of Iraq located between the two display circle( $29^{\circ}5'$ ) and ( $37^{\circ}22'$ ) north, and between two lines of length ( $38^{\circ}45'$ ) And ( $48^{\circ}45'$ ) east. Where this study focuses on identifying the spectral package used and how to use it in the field of weather and climate. It also aims to display its spectral properties. Moreover, it highlights its importance in studying clouds and snoop phenomena. Where the artificial satellite data was used Meteosat-8, the environment of geographical information systems. The study concluded that the sub -red package 1.6 has a role in determining the withdrawal and its type in Iraq depending on the spectral analysis. The study also concluded that the spectral package had an effective role in revealing the sunny and cloudy areas of Iraq. As well as measuring its speed and knowing the direction of its functioning and humidity content.

**Keywords:** the nearby infrared package, spectral analysis, Cloud, synoptic phenomena.

## 1. المقدمة

يعد التقدم التكنولوجي والتقني في علم المناخ والطقس والأرصاد الجوية طفرة نوعية في تغذية العلماء والباحثين والمتتبعين الجويين في رصد الظواهر المناخية والحالات الطقسية. فضلاً عن ذلك، ظهور الأقمار الاصطناعية في مجال دراسة الطقس والمناخ على وجه التحديد. كما ان هذه الأقمار الاصطناعية تحتوي على متحسسات رادارية تقوم بإصدار الاشعة الطيفية واستلامها اثناء اصطدامها بالأجسام في الغلاف الجوي. وقد تعددت اطوال الاشعة الطيفية حسب مجال كل قناة. لذا تم استخدام الحزمة تحت الحمراء القريبة 1.6 ميكرومتر للقمر الاصطناعي ميتيسات 8-8 Meteosat، حيث ان هذه الحزمة (القناة) الطيفية ذات الاشعة تحت الحمراء يكون مجال اهتمامها في دراسة السحب وانواعها في طبقة التربوسفير التي هي محل الاهتمام. إذ تقوم الدراسة في تفسير أنواع السحب في العراق اعتماداً على التحليل اللوني الطيفي والتحليل الرقمي. وبالتالي تحديد المناطق المشمسة والمناطق الغائمة.

## 2. مشكلة البحث:-

" تعد السحب احد الظواهر المناخية التي تحدث بفعل التكاثف في الغلاف الجوي والتي تؤثر على طقس ومناخ العراق من خلال حدوث عمليات التساقط ( المطر، البرد، الثلج، الضباب، البرق والرعد)، وهذه كلها تعكس حالة جوية مضطربة في العراق. كذلك ان السحب يصعب معرفة أنواعها وقودها الى البلد (العراق) من اجل إمكانية التنبؤ بحالة الطقس". إذ تتطرق هنالك عدة تساؤلات حول مشكلة البحث، وهي:-

1. هل ان السحب لها آثار في طقس ومناخ العراق؟
2. هل للأشعة تحت الحمراء القريبة 1.6 القدرة في معرفة السحب الرطبة؟
3. هل يمكن معرفة اتجاه سير السحب وقياس سرعتها في العراق؟
4. هل للأشعة تحت الحمراء القريبة 1.6 القدرة في معرفة المناطق المشمسة والغائمة؟

## 3. فرضية البحث:-

"ان السحب تؤثر بشكل مباشر في المنظومة الجوية من خلال حدوث اشکال

التساقط في طقس ومناخ العراق"

1. ان للسحب آثار في طقس ومناخ العراق.

2. للأشعة تحت الحمراء القريبة 1.6 القدرة في معرفة السحب الرطبة.

3. يمكن معرفة اتجاه سير السحب وقياس سرعتها في العراق.

4. للأشعة تحت الحمراء القريبة 1.6 القدرة في معرفة المناطق المشمسة والغائمة.

4. أهداف البحث:-

يهدف البحث إلى:-

1. التعرف على البيانات الرقمية ونوعها في دراسة السحب.

2. تحديد أنواع السحب الداخلة على العراق.

3. بيان المناطق التي تغطيها السحب والمناطق الخالية منها.

4. قياس سرعة السحب ومعرفة اتجاهها.

5. التعرف على رطوبة السحب في العراق.

6. بيان سمك السحب وكثافتها.

7. تحديد مواطن ونشوء السحب القادمة إلى العراق.

8. تحديد السحب المحلية والإقليمية.

5. منهج البحث:-

اعتمد البحث على المنهج الوصفي في تحليل صور القمر الاصطناعي في مجال

تفسير وتحليل السحب في العراق من خلال اعتماده على أسلوب التفسير البصري. كما

اعتمد أيضاً على المنهج التحليلي في تحليل الألوان الطيفي والبيانات الرقمية في المرئية

الفضائية من خلال استخدام مبدأ الشدة اللونية والانعكاسية الطيفية.

6. مبررات البحث:-

تعد مبررات الدراسة من احد الأمور باللغة الأهمية في منهج البحث العلمي وذلك

من خلال إعطاء صورة حقيقة للبحث العلمي وتميزه. ومن جاءت الدراسة بعض

المبررات من وجه الباحث، وهي:-

1. قلة الدراسة المحلية في هذه المجال البحثي.
2. ارفاد المكتبات العلمية والجهات ذات العلاقة.
7. آلية العمل:-

اعتمدت الدراسة على عدة أساليب منها:

- بيانات القمر الاصطناعي ميتيسات 8 ( Meteosat-8 ).
- تطبيقات نظم المعلومات الجغرافية والاستشعار عن بعد.
- 8. حدود الدراسة والمحطات المناخية المختارة.

تمثل حدود منطقة الدراسة بالحدود الآتية:-

#### 1.8: البعد الزمني

حددت الدراسة زمانياً بالمدة الزمنية بين السنين (2023م) لدراسة السحب في العراق.

#### 2.8: البعد المكاني

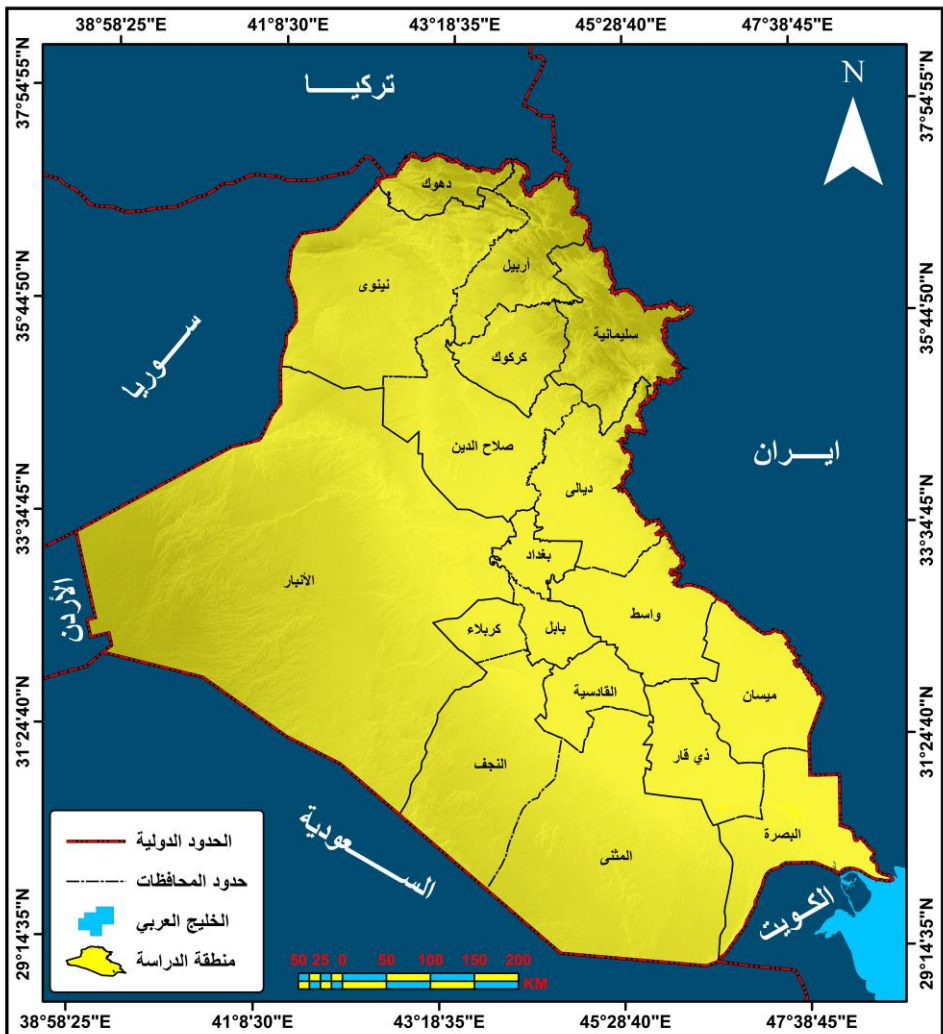
يقسم البعد المكاني إلى قسمين هما:

- **الموقع الفلكي**: يقع العراق بين دائري عرض ( $29^{\circ}, 5^{\circ}$ )، و( $37^{\circ}, 22^{\circ}$ ) شمالاً، وبين خطى طول ( $38^{\circ}, 45^{\circ}$ ), و( $45^{\circ}, 48^{\circ}$ ) شرقاً.
- **الموقع الجغرافي**: تمثل حدود منطقة الدراسة بجمهورية العراق التي تقع في قارة آسيا، ضمن الجزء الجنوبي الغربي منها، وهي أحد الدول التابعة لها، حيث تحتوي على ثمانية عشر (18) محافظة إدارية. إذ تبلغ مساحة العراق  $434,317 \text{ كم}^2$ ، إذ يحد وطننا العراق من جهة الشمال تركيا، ومن الغرب سوريا والأردن، ومن الجنوب المملكة العربية السعودية والكويت والخليج العربي، أما من جهة الشرق فتحده إيران، ينظر إلى خريطة العراق الإدارية (1).

#### 3.8: البعد النوعي

يقصد بالبعد النوعي هو نوع الظاهرة التي سوف يتم دراستها، لذا تناولت الدراسة دراسة السحب، من حيث الخصائص النوعية لها ونوع الحيز المكاني.

### خرطة (1) : توضح حدود منطقة الدراسة وتقييم المطحات المناخية



المصدر: اعتماداً على الهيئة العامة للمساحة، خريطة العراق الإدارية ذو مقياس 1:1000000،  
ومخرجات برنامج Arc GIS (Map) V 10.8

### 9. عرض وتحليل السحب في العراق:

تقسم عملية عرض وتحليل السحب في العراق إلى عدة أساليب وهي:-

#### 1.9: مفهوم الحزمة تحت الحمراء القريبة (1.6) ميكرومتر:-

تعد هذه القناة الطيفية من أحدى القنوات التي تهتم في مجال دراسة الظواهر  
الطقسية في الغلاف الجوي. إذ تقوم بالتمييز بين الثلج والسحب والجليد والغيوم المائية،

وتوفر معلومات عن الهباء الجوي (SCHMETZ, 2002, 980). وعليه يمكن استخدام هذه القناة الطيفية في عمليات الأرصاد الجوي لكونها تدرس السحب وانواعها فهي مهمة في جانب التتبؤ الجوي القصير.

## 2.9: الخصائص الحرمة تحت الحمراء القريبة (1.6) ميكرومتر:-

تتمتع حزمة (NIR1.6) بعدة من الخصائص متمثلة بالخصائص المكانية والطيفية والراديومنية. وهذه الخصائص مهمة جداً عند الراصد الجوي والمتبؤ. حيث ان هذه القناة الطيفية المستخدمة تتصف بطول موجي قصير الموجة ( $\mu\text{m}1.64$ ) وهو تابع لاحد مستشعرات القمر الاصطناعي ميتیوسات (8). بينما بلغت قيمتها المكانية نحو (3) كم (كم) وهي تدل على تغطية عنصر الصورة (Pixel) في المرئية الفضائية نحو (3) كيلومتر أي وضوح الاجسام في المرئية الفضائية؛ فكلما قلت قيمة الخصائص المكانية زاد وضوح المرئية الفضائية (Mecikalski, 2010, 2546). فضلاً عن ذلك، ان صور القمر الاصطناعي المستخدمة تتميز باحتواها على (مصفوفة  $3712 \times 3712$  بكسل) أي تحتوي على كثافة لونية كبيرة؛ مما تعطي تفاصيل كثيرة عن الظواهر الجوية (Barbosa, 2011, 2180). اما الخصائص الراديومنية تتمثل بنسبة الخطأ للمستشعر القمر الاصطناعي أي نسبة الخطأ اثناء التقاط الصور والتي بلغت من 0.25 - 0.75 واط في المتر المربع الواحد. في حيث تمثلت الخصائص الزمنية ان القمر الاصطناعي المستخدم يلتقط الصور كل (15) دقيقة وهذا يفيد ويعطي تصوراً أكثر دقة في عمليات الرصد الجوي ومراقبة الظواهر الجوية في الغلاف الجوي وإمكانية التتبؤ بعمليات المنظومات الضغطية الجوية في العراق. ينظر جدول (2).

جدول (2): خصائص القناة تحت الحمراء القريبة (NIR1.6)

القناة	ال wavelength $\mu\text{m}$	الحجم المكاني	نسبة الخطأ للمستشعر	ال زمنية
NIR1.6	$\mu\text{m}1.64$	3 كم	0.25 at $0.75\text{W}/(\text{m}^2 \text{sr}\mu\text{m})$	15 دقيقة
				المدة الزمنية

Source: Schmetz, J., Pili, P., Ratier, A., Rota, S., & Tjemkes, S. (2001). METEOSAT Second Generation (MSG): Capabilities and applications. In Proc. 11th Conf. on Satellite Meteorology and Oceanography, Madison, WI, Amer. Meteor. Soc (Vol. 6).

### 3.9 العلاقة بين الشدة اللونية والقيم الانعكاسية الطيفية:-

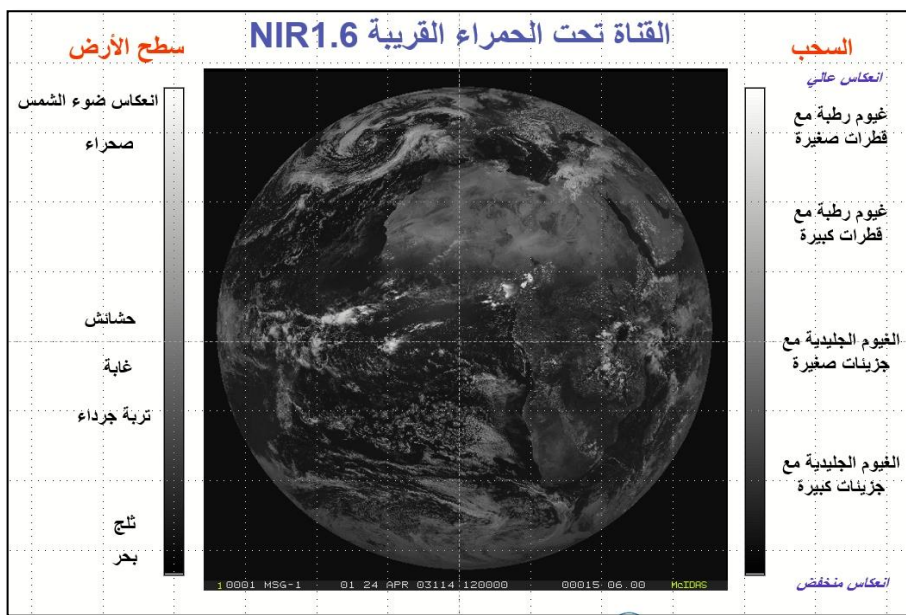
تعد الشدة اللونية والقيم الانعكاسية من أحد الأساليب المهمة في تفسير وتحليل الظواهر والأجسام في صورة القمر الاصطناعي. إذ يلاحظ من خلال جدول (2) وشكل (1) ان هناك علاقة طردية بين اللون الطيفي مع القيمة الانعكاسية. فالألوان الناصعة تدل على انعكاسية عالية للأجسام وهي تمثل قيمة عالية، بينما الألوان الفاتحة تدل على انعكاسية منخفضة للأجسام وهي تمثل قيمة منخفضة. وعليه نستنتج ان الألوان الناصعة (البيضاء) تدل على سحب عالية قليلة التساقط بينما الألوان الرمادية الفاتحة تدل سحب سميكه واكثرأً مطرأً في حين ان السحب الرمادية الغامقة والسوداء تدل على مناطق مشمسة.

جدول (3): يوضح العلاقة بين الدرجة الانعكاسية والشدة اللونية ضمن حزمة NIR1.6

الوصف الطقسي الجوي	الشدة اللونية	درجة الانعكاسية (Value)	ن
سحب رطبة سميكه مرتفعة + قطرات ماء قلada	أبيض ناصع	255 - 200	.1
سحب رطبة كثيفة متوسطة	فضي	199 - 150	.2
سحب منخفضة قليل الرطوبة	رمادي	149 - 100	.3
عدم وجود سحب	أسود	99 - 0	.4

المصدر: اعتماداً على المرئية الفضائية (6).

شكل (1): يوضح العلاقة بين أنواع السحب والانعكاسية الطيفية



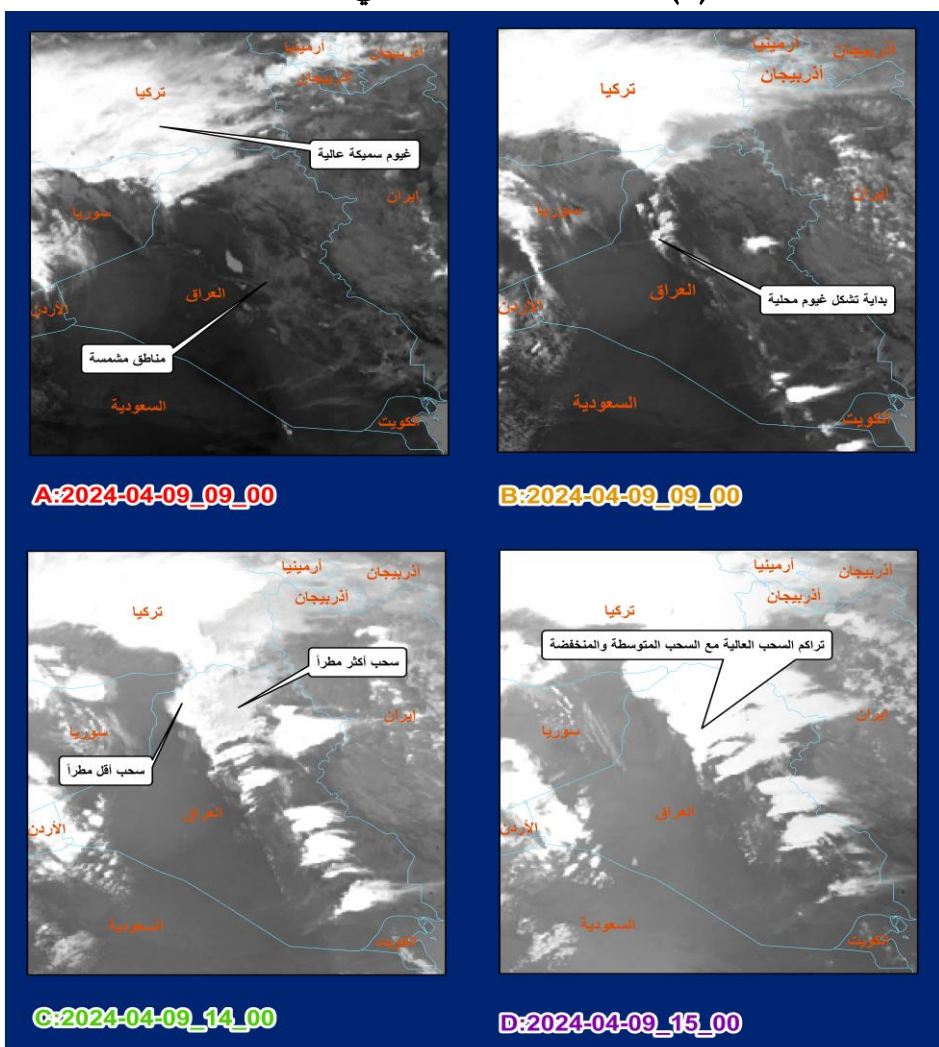
المصدر: اعتماداً على بيانات القمر الاصطناعي ميتيوسات (8).

## 10. تحليل السحب في العراق :-

تعد السحب أحد أنواع اشكال التكافث الجوي، والمهمة في دراسة التنبؤ الطقسي على المدى القصير. ان الغيوم الباردة هي التي تحتوي على التلوج بسبب درجة حرارتها التي تقترب من الصفر المئوي. بينما الغيوم الدافئة تمتنز بقلة التلوج وازدياد تساقط الامطار بفعل ارتفاع درجة حرارتها عن النوع الأول من الغيوم ( خضر ، 2017 ، 378 ). كما يذكر ( الهزال ، 2019 ، 54 ) ان المنخفضات الجوية المتوسطية والسودانية التي يتعرض لها بلدنا العزيز ( العراق ) هي التي تسبب الامطار وما لها علاقة بالسحب. لذلك فعند النظر الى شكل (2) نموذج (A) نلاحظ ان 90 % من مناطق العراق تخلو من السحب، باستثناء جزء قليل من محافظة نينوى. ان هذه السحب في هذا النموذج هي ناتجة عن منخفض البحر المتوسط الجبهوي. بينما نموذج (B) يظهر بداية تشكل وتكونين السحب المحلية بفعل الرطوبة البحرية القادمة من البحر المتوسط والبحر الأحمر مما أدى حدوث عملية التكافث ومن ثم تشكيلها. في حين نموذج (C) يوضح حالة جوية جديدة فريدة من نوعها والتي تتمثل بتلاحم واندماج السحب المحلية مع المنخفض الجوي ( البحر المتوسط) وبالتالي ازدادت الكثافة الرطوبية مما ساعد على اسراع وتشكل

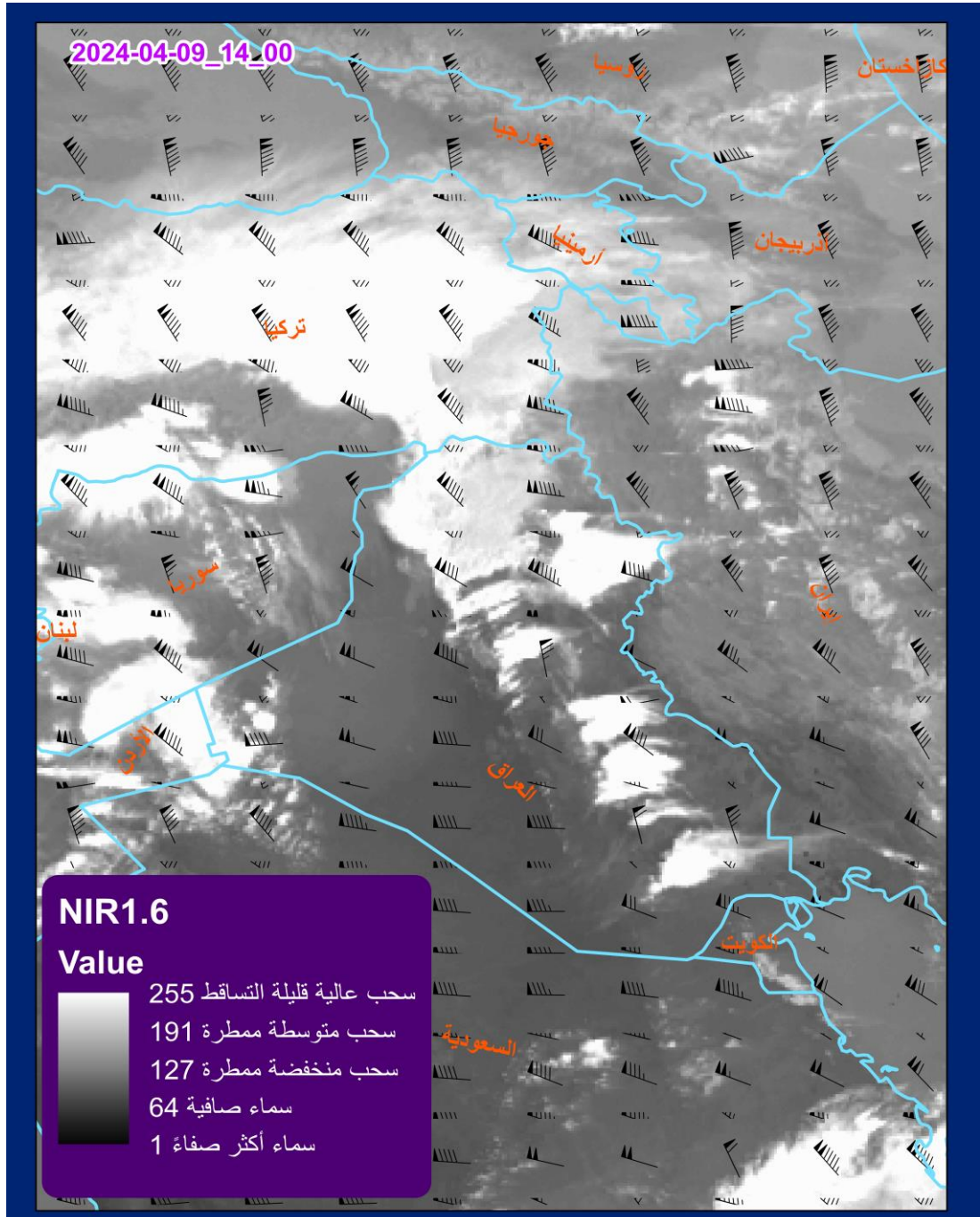
السحب العالية والمتوسطة والمنخفضة بسبب الامتداء في أعلى الغلاف الجوي وتشكيل الجبهة الممتلئة. وبالتالي ظهور السحب المتوسطة الأكثر تسامطاً والتي تظهر في النموذج باللون الرمادي الفاتح بينما السحب العالية الأقل تسامطاً تظهر باللون الأبيض الناصع بسبب قلة المياه فيها. ان نموذج (D) يوضح الحالة المثالية والتي يقصد بها اندماج السحب المحلية مع سحب المنخفض الجوي بسبب مجئه وسيطرته. كما ان مرئية (1) تبين العلاقة بين الشدة اللونية والانعكاسية الطيفية الرقمية؛ فالسحب ترتبط بشكل كبير باللون الطيفي والقيمة الانعكاسية الألوان الفاتحة تدل على وجود وترامك السحب في السماء بينما الألوان الداكنة تبين مناطق خالية من السحب أي مناطق مشمسة. وعليه نستنتج ان الحزمة تحت الحمراء القريبة 1.6 ميكرومتر مهمة في الكشف عن السحب وتحليلها. بالإضافة عن ذلك، إمكانية التنبؤ بحالة الطقس على المدى القصير وهو مهم جداً في إدراك حدوث المخاطر البيئية بسبب الأمطار. كما ان تعطي تصوراً مناخياً عن المناطق التي تخضع لسيطرة المنظومات الضغطية الجوية؛ فالمناطق التي تحتوي على السحب هي تخضع لسيطرة المنخفضات الجوية بينما المناطق التي تخلو من السحب هي بالحقيقة مناطق ضغط عالي تسيطر عليها المنظومات الجوية المرتفعة. كذلك أيضاً يمكن معرفة اتجاه سير السحب من خلال عملية التتبع والمشاهدة الآنية اعتماداً على لقطات القمر الاصطناعي الزمنية. أيضاً يمكن الاستفادة من هذه التفاصيل والمعلومات التي تحتويها الحزمة تحت الحمراء القريبة (NIR1.6) مثل رسم خط الجبهات وانواعها، ترميز السحب، ترميز المناطق المشمسة، وتحديد المناطق الرطبة والجافة. كما بلغت سرعة السحب حوالي 145 عقدة / ثا بينما المناطق التي تخلو من السحب بلغت سرعة الهواء 50 – 100 عقدة / ثا كما مبين في مرئية (1).

شكل (2): يبين المراحل الزمنية في تشكيل السحب



المصدر: اعتماداً على بيانات القمر ميتيوسات 8، وخرجات برنامج ArcGIS 10.8

## مرئية (1): تظهر التحليل الطيفي اللوني والرقمي للحرزمه تحت الحمراء القربيه 1.6



المصدر: اعتماداً على بيانات القمر ميتسويسات 8، وخرجانات برنامج ArcGIS 10.8

## 11. الاستنتاجات:

- (1) اثبتت الحزمة الطيفية تحت الحراء القريبة 1.6 في تحديد السحب وانواعها في العراق من خلال التحليل اللوني الطيفي والرقمي.
- (2) استنتجت الدراسة الى ان الحزمة الطيفية كان لها دور فعال في الكشف عن المناطق المشمسة والغائمة للعراق.
- (3) توصلت الدراسة الى قياس سرعة السحب ومعرفة اتجاهها من البيانات والبرامج المستخدمة.
- (4) تم تحديد المناطق ذات التكافث الكبير في العراق من خلال معرفة السحب الممطرة.
- (5) اثبتت الدراسة سمك السحب وكثافتها من خلال الشدة اللونية والانعكاسية الطيفية.
- (6) اثبتت الدراسة تحديد مواطن ونشوء السحب القادمة الى العراق.
- (7) توصلت الدراسة الى تحديد السحب المحلية والإقليمية من خلال عملية الرصد واللحاظة البصرية والبيانات الزمنية المتكررة.

## 12. المقترنات:

- (1) الاعتماد على الحزم الطيفية المتنوعة في الرصد الجوي في العراق لكونها تحتوي على صفات وخصائص معايرة عن بعضها البعض.
- (2) انشاء دورات تدريبية في مجال الاستشعار عن بعد في المجال مراقبة حالة الطقس لكونه أكثر دقةً وافق خطأً.
- (3) نقترح الدراسة على توجيه الباحثين المناخيين والمتبيئين في استخدام بيانات الاستشعار عن بعد في الدراسات البحثية والأكاديمية.

## المراجع:

1. Schmetz, J., Pili, P., Tjemkes, S., Just, D., Kerkmann, J., Rota, S., & Ratier, A. (2002). An introduction to Meteosat second generation (MSG). Bulletin of the American Meteorological Society, 83(7), 977-992.
2. Schmetz, J., Pili, P., Ratier, A., Rota, S., & Tjemkes, S. (2001). METEOSAT Second Generation (MSG): Capabilities and applications. In Proc. 11th Conf. on Satellite Meteorology and Oceanography, Madison, WI, Amer. Meteor. Soc (Vol. 6).
3. Mecikalski, J. R., MacKenzie, W. M., König, M., & Muller, S. (2010). Cloud-top properties of growing cumulus prior to convective initiation as measured by Meteosat Second Generation. Part II: Use of visible reflectance. Journal of Applied Meteorology and Climatology, 49(12), 2544-2558.

4. Barbosa, H. A., da Silva Junior, I. W., Ertük, A. G., & Prieto, J. (2011). The cloud-top SEVIRI data for monitoring convective storms. Anais XV Simpósio Brasileiro de Sensoriamento Remoto—SBSR, Curitiba, PR, Brasil, 30, 2179.
5. أ. م. د. سالار علي حضر، أ. م. د. بشري احمد جواد صالح، & د. بسم شاكر شنيشل الجيزاني. (2017). الهطول الثلجي في العراق: الهطول الثلجي في العراق. مداد الآداب، 7(13)، 371-402.
6. أ. د. يوسف محمد علي حاتم الهدال، الباحث، & احمد ماجد عباس الحبورى. (2019). أثر تغير المناخ في تباين تكرار المنخفض المتوسطي والسوداني خلال الموسم المطير في العراق (دراسة في علم المناخ الشمولي): أثر تغير المناخ في تباين تكرار المنخفض المتوسطي والسوداني خلال الموسم المطير في العراق (دراسة في علم المناخ الشمولي). مداد الآداب، 13(الجزء الاول)، 37-56.